

ференциальные характеристики вторично-эмиссионных процессов, как структура масс-спектров вторичных ионов и оже-спектров, являются чувствительными к структуре образца в отличие от аналогичных характеристик вторичных процессов при электронном возбуждении.

### Список литературы

- [1] *Машкова Е.С., Молчанов В.А.* Рассеяние ионов средних энергий поверхностью твердых тел. М.: Атомиздат, 1980.
  - [2] Распыление твердых тел ионной бомбардировкой / Под ред. Р. Бериша. М.: Мир, 1986.
  - [3] *Бруслиловский Б.И.* Кинетическая ионно-электронная эмиссия. М.: Атомиздат, 1990.
  - [4] *Bennighoven A., Rudenauer F.G., Werner W.* Secondary ion massspectrometry. J. Wiley a.s.
  - [5] *Коулсон Ч.* Валентность. М.: Мир, 1960.
  - [6] *Дорожкин А.А., Коварский А.П., Ли-Фату А.В., Мансуров В.Н.* // Письма в ЖТФ. 1992. Вып. 6.
  - [7] *Лейман К.* Взаимодействие излучения с твердым телом и образование элементарных дефектов. М.: Атомиздат, 1979.
- 

05:07;12

Журнал технической физики, т. 66, в. 5, 1996

## ВОЗДЕЙСТВИЕ ЛАЗЕРНЫХ ИМПУЛЬСОВ НА МЕТАЛЛИЧЕСКИЕ МИШЕНИ

© *К.Б.Абрамова, И.П.Шербаков, И.Я.Пухонто, А.М.Кондырев*

Физико-технический институт им. А.Ф.Иоффе РАН,

194021 Санкт-Петербург, Россия

(Поступило в Редакцию 29 ноября 1995 г.)

Взаимодействие интенсивного лазерного излучения с веществом приводит ко множеству разнообразных эффектов: углубление рельефа облучаемой поверхности, изменение коэффициента поглощения, загорание плазменного факела, возникновение акустической волны и термонапряжений [1,2]. Все это может приводить к возникновению в металлической мишени механических напряжений, которые в свою очередь провоцируют эмиссионные явления, например эмиссию фотонов, атомов и т. д.

В работах [3-5] показано, что мехаоэмиссия фотонов благородных металлов и меди может возбуждаться вследствие выхода подвижных дислокаций на поверхность и определяется межзонными переходами в твердом теле. Квантовый выход люминесценции составляет примерно  $10^{-9}$ . Реально интенсивность люминесценции, как следует из оценок [5] и экспериментов [6], не превышает  $10^{-10}$  Вт/см<sup>2</sup> и зависит от скорости нагружения. Наибольшая интенсивность излучения при нагружении медных образцов была зарегистрирована в опытах, использующих тыльный откол [7], а наименьшая — при статическом нагружении в режиме ползучести [8]. До сих пор нам неизвестны опыты, в которых регистрировалась бы люминесценция при неоднократном нагружении.

металлических образцов. Использование лазерных импульсов позволяет надежно регистрировать люминесценцию с тыльной по отношению к воздействию стороны образца [9]. При этом можно использовать режим, в котором не происходит разрушения образца, а значит, осуществлять многократное его нагружение и установить, есть ли эволюция излучения и если есть, то какова она, существует ли ее связь с изменениями в микроструктуре. Это важно для понимания механизма механолюминесценции металлов и установления общих закономерностей мехаэмиссионных явлений твердых тел, которые значительно полнее исследованы для диэлектриков [10–14]. Например, надежно установлено, что для деформационной эмиссии фотонов и электронов щелочногалоидных кристаллов важно существование дислокаций определенного типа [12–14].

Блок схема эксперимента представлена на рис. 1. В опытах использовались образцы в виде дисков толщиной 0.1–0.5 мм диаметром 40 мм. Одна поверхность образца располагалась перед входным окном ФЭУ-136, чувствительным к излучению в широкой спектральной области (300–800 нм), который работал в аналоговом режиме в комплексе с цифровым запоминающим осциллографом. Другая облучалась импульсом лазера, обладающим следующими параметрами: длительность импульса  $t_{\text{п}} = 1.5 \text{ мс}$ , энергия в режиме свободной генерации  $P = 24 \text{ Дж}$ , длина волны 1.06 мкм. Пучок фокусировался в пятно диаметром  $d_{\text{ф}} = 2–8 \text{ мм}$ , мог ослабляться нейтральными светофильтрами до уровня  $P_{\text{пор}}$ , соответствующего порогу разрушения передней поверхности образца (или, что тоже самое, порогу загорания плазменного факела на передней поверхности образца) и еще ниже. Нижний предел мощности лазерного импульса определялся возможностью регистрации люминесценции поверхности образца и составлял  $0.1–0.2 P_{\text{пор}}$ .

Облучению подвергались медные, золотые, серебряные, платиновые образцы. Как правило, при  $P_{\text{лаз}} \gtrsim 0.2 P_{\text{пор}}$  на тыльной стороне образца возбуждалась люминесценция. Однако в ряде случаев вплоть до  $P_{\text{лаз}} \gtrsim P_{\text{пор}}$  люминесценция не регистрировалась. Если интенсивность люминесценции ( $P_{\text{лаз}} < P_{\text{пор}}$ ) была достаточной для надежной ее регистрации, то импульс  $I_{\text{люм}}$  начинался во всех случаях через 0.2–0.5 мс (в зависимости от материала образца) от начала  $P_{\text{лаз}}$  и заканчивался, как правило, до окончания  $P_{\text{лаз}}$ . Увеличение интенсивности импульса лазера увеличивает интенсивность люминесценции. Если  $P_{\text{лаз}}$  становится достаточно большой и облучаемая поверхность образца разрушается, то на его тыльной стороне возникают два разрешенных во времени импульса люминесценции  $I_{\text{люм}}^I$  и  $I_{\text{люм}}^{II}$ , причем  $I_{\text{люм}}^{III}$  появляется во время переднего фронта импульса лазера (рис. 2). Время задержки импульсов люминесценции относительно начала лазерного излучения и энергия  $P_{\text{лаз}}$ , возбуждающая  $I_{\text{люм}}^I$  и  $I_{\text{люм}}^{II}$ , позволяют утверждать [9], что оба импульса возбуждаются механическими напряжениями, но  $I_{\text{люм}}^{III}$  — следствие напряжений, вызванных акустической волной, а  $I_{\text{люм}}^I$  — термонапряжений.

Описанные ниже эксперименты выполнены при мощности лазера  $P_{\text{пор}} > P_{\text{лаз}} > 0.1–0.2 P_{\text{пор}}$ , т. е. возбуждаются термонапряжения и лю-

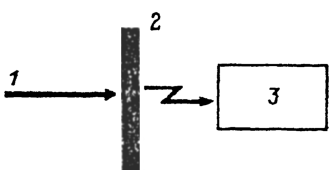


Рис. 1.

1 — луч лазера, 2 — детектор.

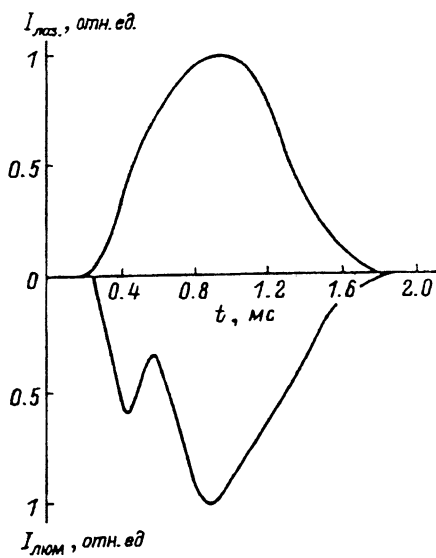


Рис. 2.

минесценция только вследствие термонапряжений. Для меди расчетная критическая плотность энергии  $P_{\text{пор}} = 5 \cdot 10^5 \text{ Вт}/\text{см}^2$ , экспериментальное значение  $4 \cdot 10^6 \text{ Вт}/\text{см}^2$  [2] (вычисления проведены для плотности поглощенного потока излучения, который не превышает для меди 7% от падающего [15]). Очень важно, что в описываемых опытах энергия, вводимая в образец, была малой не только по сравнению с энергией испарения, но и плавления материала в облучаемом пятне, а температура тыльной стороны не могла превышать нескольких сот градусов.

Исследовалась эволюция люминесценции при облучении образца пакетом следующих друг за другом с интервалом в 5 мин импульсов лазера. Надежно установлено, что при таком нагружении существует эволюция люминесценции. Интенсивность механолюминесценции со временем падает. Число импульсов лазера энергией  $P_{\text{лаз}} \sim 0.2 P_{\text{пор}}$ , возбуждающих люминесценцию тыльной поверхности образцов, изготовленных из Cu, Ag, Au, Pt, колебляется от 2 до 25 и более.

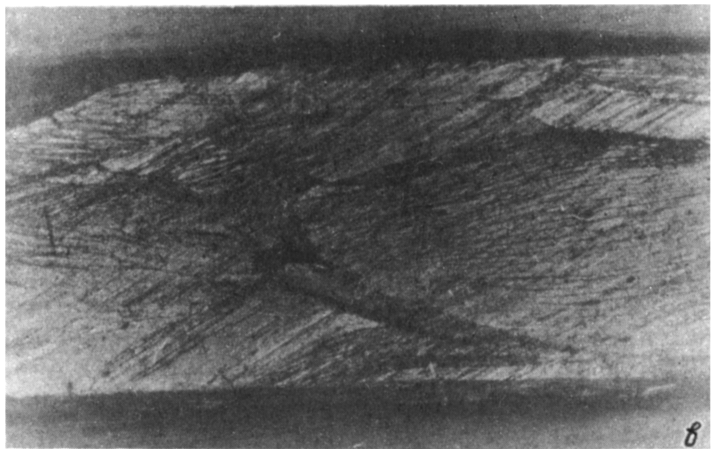
Более подробные исследования выполнены на медных образцах. Предварительно подготовлены 4 группы образцов, имеющих одинаковые геометрические размеры и отличающиеся структурой. На рис. 3 приведены характерные фотографии микрошлифов. Образцы I группы (фотография структуры одного из них приведена на рис. 3, а) изготовлены из медного прутка и имеют средний размер зерна  $\sim 0.05 \text{ мм}$ . На рис. 3, б пример из группы II; образцы изготовлены из того же прутка, но затем отожжены, средний размер зерна  $0.1\text{--}0.2 \text{ мм}$ , попадаются зерна величиной  $0.4\text{--}0.5 \text{ мм}$ ; на зернах имеются следы деформаций. Рис. 3, в, г (группы III и IV) представлены образцы, изготовленные из листовой меди. В группе III крупные сильно деформированные зерна, вытянутые вдоль направления деформации. Размер зерна вдоль направления деформации  $\sim 2 \text{ мм}$ , в перпендикулярном —  $\sim 0.4 \text{ мм}$ . Зерна прониза-



*a*



*б*



*в*

Рис. 3. Структура образцов ( $\times 50$ ).

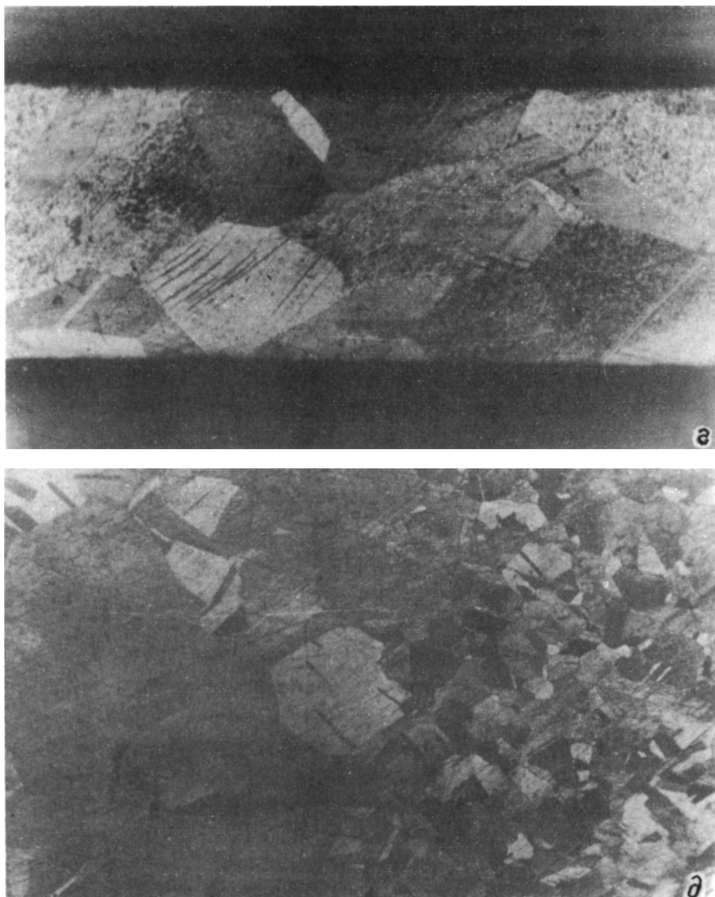


Рис. 3 (продолжение).

ны линиями скольжения. В IV группе зерна  $\sim 0.4$  мм, дефектов мало, линии скольжения и двойникования практически отсутствуют.

На рис. 4 представлена зависимость интенсивности люминесценции медного образца из I группы от порядкового номера импульса облучения импульсом лазера мощностью  $P_{\text{лаз}} \sim 0.2 P_{\text{пор}}$ . Из графика видно, что интенсивность люминесценции уменьшается от раза к разу и в данном случае на 5-м нагружении становится равной нулю (кривая а). Увеличение мощности лазерного импульса в два раза приводит к возобновлению люминесценции, которая при последующем облучении так же постепенно затухает (кривая б).

Люминесценция тыльной стороны отожженных образцов (II группа) при облучении их импульсом  $P_{\text{лаз}} < P_{\text{пор}}$  не зафиксирована. Образец (III группы) облучался импульсами  $P_{\text{лаз}} \sim 0.2 P_{\text{пор}}$  25 раз, во всех случаях возбуждалась люминесценция практически постоянной амплитуды и длительности. Люминесценции образцов IV группы при облучении их импульсами лазера мощностью  $P_{\text{лаз}} \lesssim P_{\text{пор}}$  не зафиксировано.

Исследование микрошлифов облученных образцов позволило установить следующее. В структуре образцов I группы произошли изменения. По всей толще образца в канале диаметром, равным диаме-

тру облучающего пучка, зерна укрупнились и стали такими же, как у отожженных образцов II группы (рис. 3,д). Изменений в структуре образцов II, III и IV групп при использовавшемся увеличении не установлено.

Качественно объяснить эти результаты можно опираясь на дислокационные представления о прочности и пластичности материалов и приняв дислокационный механизм возбуждения mechanoluminesценции [5,16]. Хотя прямых измерений плотности дислокаций не было проведено, сравнение фотографий структуры образцов позволяет судить и о сравнительной плотности дислокаций в них. При воздействии лазерного импульса в образце возникают механические напряжения, благодаря которым некоторые дислокации могут преодолеть свой энергетический барьер и прийти в движение. Наибольший сигнал люминесценции, как видно из рис. 4, наблюдается при первом погружении. Это естественно связать с тем, что в исходном состоянии количество слабо закрепленных дислокаций больше, чем перед вторым нагружением, т.е. постепенно уменьшается количество дислокаций, приобретающих подвижность при данной мощности лазерного импульса. Увеличение мощности лазерного импульса до  $P_{\text{лаз}} = 0.4 P_{\text{пор}}$  приводит в движение другую группу дислокаций, обладающих более высокой энергией активации, и детектор опять регистрирует люминесценцию. По-видимому, в образцах II и IV группы плотность дислокаций, которые приобретают подвижность и успевают выйти на поверхность, недостаточна для возбуждения регистрируемой в настоящих опытах люминесценции. В образцах III группы ситуация обратная: возбуждаемые напряжения достаточны для постепенного продвижения к тыльной поверхности дислокаций и выхода их на поверхность при многократном нагружении.

Таким образом, установлено, что при циклическом нагружении образцов может происходить затухание возбуждаемой в них люминесценции. Показано, что важным условием возможности возбуждения mechanoluminesценции является наличие большого количества дефектов в структуре металла.

Работа выполнена при поддержке Международного научного фонда. Грант № NTV000.

### Список литературы

- [1] Рэди Дж. Действие мощного лазерного излучения. М.: Мир, 1974.
- [2] Анисимов С.И., Имас Я.О., Соловьев Г.С., Ходыко Ю.В. Действие излучения большой мощности на металлы. М.: Наука, 1970.
- [3] Молоцкий М.И. // ФТТ. 1978. Т. 20. Вып. 6. С. 1651–1655.
- [4] Молоцкий М.И. // ФТТ. 1981. Т. 23. Вып. 7. С. 2171–2172.
- [5] Молоцкий М.И. // ФММ. 1983. Т. 55. № 1. С. 743–750.
- [6] Абрамова К.Б., Шербаков И.П. // ЖТФ. 1994. Т. 64. Вып. 9. С. 75–88.
- [7] Абрамова К.Б., Валицкий В.П., Златин Н.А., Переход Б.П. // ЖЭТФ. 1976. Т. 71. Вып. 5. С. 1873–1879.
- [8] Абрамова К.Б., Пахомов А.Б., Переход Б.П., Шербаков И.П. // Письма в ЖТФ. 1983. Т. 9. Вып. 17. С. 1025–1028.

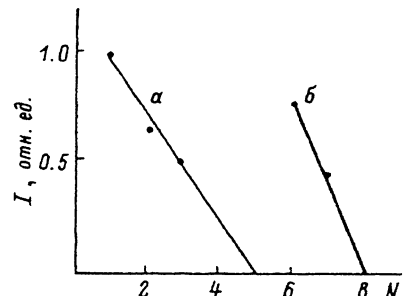


Рис. 4.

- [9] Абрамова К.Б., Кондырев А.М., Чмель А.Е., Щербаков И.П. // ЖТФ. 1992. Т. 62. Вып. 1. С. 206–208.
- [10] Mayer K., Obricat D., Rossberg M. // Kristall and Technic. 1970. Vol. 5. N 1. P. 5–49; Kristall and Technic. 1970. Vol. 5. N 2. P. 180–205.
- [11] Svensen B. // Phys. Rep. 1989. Vol. 180. N 6-с. P. 335–416.
- [12] Закревский В.А., Шульдинер А.В. // Письма в ЖТФ. Т. 10. Вып. 3. С. 139–143.
- [13] Кусов А.А., Клингер М.И., Закревский В.А. // ФТТ. 1990. Т. 32. Вып. 2. С. 1694.
- [14] Zakrevskii V.A., Shul'diner A.V. // Phyl. Mag. B. 1995. Vol. 71. N 2. P. 127–138.
- [15] Физические величины. Справочник. М.: Энергоатомиздат, 1991.
- [16] Van Buren. Дефекты в кристаллах. М., 1962.

01:08:09

Журнал технической физики, т. 66, в. 5, 1996

## О ВОЗМОЖНОСТИ ИССЛЕДОВАНИЯ ПРОСТРАНСТВЕННОГО РАСПРЕДЕЛЕНИЯ ИСТОЧНИКОВ НЕКОГЕРЕНТНОГО ИЗЛУЧЕНИЯ С ПОМОЩЬЮ КОРРЕЛЯЦИОННОЙ ОБРАБОТКИ

© В.И.Миргородский, В.В.Герасимов, С.В.Пешин

Институт радиотехники и электроники РАН,  
141120 Фрязино, Московская область, Россия  
(Поступило в Редакцию 21 февраля 1995 г.)

Известно, что стационарная картина интерференции некогерентного излучения наблюдается при условии малости разности хода интерферирующих лучей по сравнению с длиной когерентности излучения. Эта особенность используется, в частности, при измерениях линейных размеров концевых мер [1] в интерферометрах типа Физо или Кюстера. Предлагаемая работа посвящена изложению основанного на этом явлении нового принципа получения информации о распределении в пространстве источников некогерентного излучения электромагнитной, акустической или какой-либо другой природы. В то время как в интерферометрах Физо и Кюстера осуществляется измерение пространственного размера объектов вдоль одного направления, предлагаемый принцип позволяет получать информацию о трехмерных распределениях в пространстве интенсивности эмиссии некогерентного излучения. Главным требованием к параметрам излучения для реализации такого зондирования является малость длины когерентности  $L_k$  по сравнению с требуемым пространственным разрешением  $\Delta r$ .

Рассмотрим пространство, в котором излучение распространяется со скоростью  $v$  и затуханием  $\alpha$ . Для упрощения анализа сосредоточим все источники некогерентного излучения внутри области  $V$  (рис. 1). Мгновенные амплитуды эмиссии источников излучения представим для простоты скалярной вещественной функцией источников  $N(\mathbf{r}, t)$ , подробнее про свойства которой речь пойдет ниже. Пусть приемники излучения расположены в различных точках пространства  $\mathbf{r}_i$  ( $i = 1, 2, \dots, N$ ), не принадлежащих к области  $V$ . Тогда амплитуда излучения источников вблизи чувствительных элементов приемников будет определяться следующим выражением:

$$S_i(t) = \int_v N\left(\mathbf{r}, t - \frac{|\mathbf{r} - \mathbf{r}_i|}{v}\right) \frac{\exp(-\alpha|\mathbf{r} - \mathbf{r}_i|)}{|\mathbf{r} - \mathbf{r}_i|} d^3r. \quad (1)$$